

بازیابی نرم یک راکت مافوق صوت به کمک ناپایدارسازی

خلقانی، عباس^{۱*}، جوارشکیان، محمد حسن^۲ و پسندیده فرد، محمود^۳

۱- دانشجوی دکتری مکانیک، دانشکده مهندسی دانشگاه فردوسی مشهد

۲- دانشیار گروه مکانیک، دانشکده مهندسی دانشگاه فردوسی مشهد

۳- دانشیار گروه مکانیک، دانشکده مهندسی دانشگاه فردوسی مشهد

(دریافت مقاله: ۱۳۹۰/۰۳/۲۱ تاریخ پذیرش: ۱۳۹۰/۱۲/۱۵)

چکیده

در این تحقیق بازیابی نرم یک راکت مافوق صوت به کمک ناپایدارسازی، توسط یک روش عددی حجم محدود و روش تجربی مورد بررسی قرار گرفته است. در روش عددی مذکور معادلات ناویر استوکس پس از گسترش سازی به روش حجم محدود با استفاده از الگوریتم فشار مینا توسط یک حل کننده ضمنی حل شده است. در روند حل از ایده برون یا درون یا ب مرتبه دوم بالا دست استفاده شده و برای در نظر گرفتن اثر آشفتگی مدل اسپلائر المارس بکار برده شده است. در روش تجربی یک راکت داپلر بر روی مسیر پرواز پیش‌بینی شده تنظیم شده و منحنی سرعت-زمان پرتابه هنگامی که از مقابل راکت می‌گذرد ثبت گردیده است. با توجه به شبیه‌سازی عددی، ابتدا ضرایب آبرودینامیکی راکت ناپایدار، در سرعتهای و زوایای مختلف چرخش محاسبه شده، سپس مدل‌سازی دینامیک پرواز راکت ناپایدار، با توجه به ضرایب آبرودینامیکی انجام گرفته است. در انتها نتایج تئوریک مذکور با منحنیهای تجربی سرعت که توسط راکت داپلر ثبت گردیده، مقایسه شده است.

واژه‌های کلیدی: آبرودینامیک، پرتابه، ناپایداری، بازیابی نرم، زاویه حمله بالا، مافوق صوت

مقدمه

سرعت بسیار کم است توسط یک چتر بازیابی نرم می‌شوند. یک مکانیزم هرزگرد اتصال چتر و گلوله را برقرار می‌کند تا دوران گلوله باعث بهم پیچیدن چتر نشود. در بعضی طرحها با باز شدن یک ترمز ابرودینامیکی دوران گلوله را کاهش می‌دهند. گاهی با استفاده از یک مکانیزم جدایش ماسوره و چتر را از بقیه قسمتهای گلوله جدا می‌کنند، تا با کاهش جرم Fellerhoff و Pepper [۴] به بهبود طرحهای بازیافت نرم گلوله ۱۵۵ میلیمتری پرداختند.

Ilyong و همکارانش [۵] با یک گلوله هوشمند حاوی بردهای الکترونیکی مواجه بودند که در هنگام شلیک با شتاب ۲۰۰۰۰ g مواجه می‌شد. در این شتاب ۲۰ کیلوگرم نیرو به یک المان یک گرمی وارد می‌شود. آنها برای بازیابی نرم این گلوله، یک کمپرسور بالستیکی طراحی کردند. سپس رفتار این کمپرسور بالستیکی را با یک کد کامپیوتری بررسی کرده و با یک مدل آزمایشگاهی مقایسه کردند.

Evans و همکارانش [۶, ۷] برای بازیابی نرم یک گلوله هدایت شونده توپخانه، از دستگاه بازیافت نرم گلوله کالیبر

در تمام مراحل طراحی و ساخت یک پرتابه، تستهای مکرر میدانی نه تنها پرهزینه و طاقت فرسا است، بلکه نشان دهنده تعداد اندکی از خطاهای سیستم خواهد بود. استنتاج علی خطا از روی بازنده‌های پرتابه‌ای که متلاشی شده است دور از انتظار است. بنابراین بازیافت نرم پرتابه‌ها از دیرباز مورد توجه بوده است، ولی با پیشرفت تکنولوژی، این مسئله ابعاد جدیدی یافته است. طرحهای فراوان و روش‌های گوناگونی برای بازیابی نرم پرتابه‌ها اجرا شده‌اند. یک روش سنتی آن است که پرتابه در تپه‌ای از ماسه بادی و یا استخر آب شلیک و بازیابی نرم شود. روش سنتی دیگر استفاده از چتر است که چندین کتاب و هندبوک در بازار آن تدوین شده است [۱, ۲]. در بسیاری از پرتابه‌های امروزی، شتاب منفی روش‌های مذکور پذیرفتنی نیست. هنوز هم این دو روش در ترکیب با طرحهای جدید مورد استفاده قرار می‌گیرند.

Benedetti [۳] به بررسی دینامیک پرواز گلوله‌های معمولی ۱۵۵ و ۲۰۰ میلیمتری می‌پردازد. این گلوله‌ها در زاویه نزدیک به قائم شلیک می‌شوند و در نزدیکی قله پرواز که

عملکرد سنسورهای واحد هدایت اینرسی، آن را در گلوله مجهز به تله‌تری نصب کرده و توسط مخازن علوه بازیابی نرم کردند. Smith و همکارانش [۱۹]، برای بازیابی نرم یک پهپاد، ابتدا سرعت آن را توسط یک بالوت کاهش داده و سپس توسط چتر بازیابی کردند. این پهپاد انعطاف‌پذیر، به شکل یک گلوله ۱۵۵ میلیمتری، توسط یک توپ گازی شلیک می‌شود.

Vance و همکارانش [۲۰] توسط جت معکوس، یک پرتاپه را به نرمی بازیابی کردند. Prasun و Philip [۲۱، ۲۲] به بررسی مسیر فرود و چگونگی بازیابی نرم دو مریخ‌پیمای Opportunity و Spirit، که در دو نقطه از مریخ رها شدند، پرداخته‌اند. این دو مریخ‌پیما در ارتفاع ۱۲۵ کیلومتری، با سرعتی بیش از ۵۶۰۰ m/s و با وزنی حدود ۸۳۰ kg وارد جو مریخ شدند. ابتدا پسای جو، در مقابل سپر حرارتی، سرعت این دو مریخ‌پیما را کاهش داد. سپس چتر موفق صوت باز شد. کیسه‌های هوا قبل از روشن شدن جت معکوس باز شدند. جت معکوس در ارتفاع ۱۲ متری، مؤلفه عمودی سرعت را به صفر رسانده و در این هنگام بند اتصال فرودگر به چتر بربیده شد. فرودگر، که توسط بالشتکهای گاز در بر گرفته شده، بارها جست و خیز کرده و پس از غلطیدن‌های زیاد متوقف شد.

هدف از پژوهش حاضر ارائه طرح بازیابی نرم به کمک ناپایدارسازی عمده است. در این پژوهش به بررسی تئوریک و آزمایشگاهی بازیابی نرم یک پرتاپه مأمور صوت پرداخته می‌شود. این پرتاپه یک راکت بالک پایدار است (شکل ۱) که در پایان سوزش موتور به سرعت ۶۰۰ m/s می‌رسد. یک رادار داپلر بر روی مسیر پرواز پیش‌بینی شده تنظیم می‌شود و منحنی سرعت-زمان راکت را هنگامی که از مقابل رادار می‌گذرد ثبت می‌کند.

طرح بازیابی نرم این راکت شامل سه بخش است. ابتدا یک جداکننده پیروتکنیکی، موتور و بالکها را جدا می‌کند. بخش جلو، که حاوی ابزارهای اندازه‌گیری است، بزوی ناپایدار شده و شروع به معلق زدن می‌کند (شکل ۱). پسای شدید حاصل از معلق زدن در زمان کوتاهی سرعت را به زیر صوت کاهش می‌دهد. وقتی سرعت به حد مناسبی رسید، یک چتر ترمزی کوچک باز شده و سرعت را باز هم کاهش می‌دهد. با فاصله کوتاهی چتر اصلی باز شده و راکت را به نرمی بازیابی می‌کند. از اهداف این تحقیق نگاه ویژه به کاهش شدید سرعت در فرآیند معلق زدن و بررسی مزايا و معایب کاربرد

بزرگ (LCSRS)، استفاده کردند. این دستگاه ۶۰ متری با شبیب ناچیزی به تدریج وارد آب می‌شود. سر گلوله مورد مطالعه به یک آب پخش کن مجهز می‌شود و پس از شلیک گلوله بین یک نبیشی و ریل مهار شده و به تدریج وارد آب می‌شود. انرژی جنبشی گلوله از طریق آب پخش کن به آب منتقل شده و گلوله به تدریج متوقف می‌شود. Evans [۸] یک گلوله ۱۵۵mm را با دستگاه LCSRS بازیابی نرم کرد. Myers و Excalibur همکارانش [۹] نیز گلوله هدایتشونده توبخانه‌ای Cordes را با دستگاه LCSRS بازیابی نرم کردند. گلوله Excalibur را به چتر مجهز کرده و آن را بازیابی نرم کرد. Dahm و Derbridge [۱۱] برای بررسی اثرات بازگشت به جو زمین، مبادرت به بازیابی نرم یک گلوله در لوله‌ای با گاز فشرده کردند. Garner و همکارانش [۱۲]، تعداد ۱۰ گلوله ۱۲۰ میلیمتری را، جهت ثبت تاریخچه شتاب، به یک حافظه الکترونیکی مجهز کردند. آنها برای بازیابی نرم چهار جعبه در نظر گرفتند که به ترتیب با علوفه، خاک اره، کود گیاهی و ماسه پر شدند. گلوله با عبور از بسترها علوفه، خاک اره، کود گیاهی و کاهش سرعت تدریجی، در بستر ماسه‌ای متوقف می‌شود.

Kooker و Birk [۱۳] برای بازیابی گلوله 155 mm توپ یک لوله بلند ۹۵ متری را به دهانه لوله توپ متصل کردند. در ۵ متر ابتدای لوله سوراخهای برای خروج گازهای حاصل از شلیک وجود داشت. در ۶۰ متر بعدی، گاز فشرده بین یک دیافراگم و پیستون سبک محبوس بود. ۲۰ متر بعدی با آب پر شده بود. همچنین Birk با گروهی دیگر از همکاران خود [۱۴] برای بازیابی نرم گلوله 155 mm به شرح دستگاهی کاملاً مشابه با ابعادی متفاوت می‌پردازند.

Laughlin [۱۵] در بخشی از پایان‌نامه خود به بررسی ابزارهای بازیابی شامل ARDEC Ballistic Railgun و Catch Gun Facility بازیابی می‌پردازد. امکانات یاد شده در مراجع ۶، ۷، ۱۱، ۱۳ و ۱۴ نیز استفاده شده است. Anderson [۱۶] بازیابی نرم گلوله کالیبر ۵ اینچ را در لوله با فشار گاز بررسی و محاسبه کرد. Hölzle [۱۷] توانست، با تغییر در شکل دماغه گلوله، بازیابی موفقی در مخزن حاوی دانه‌های لاستیک داشته باشد. وی نشان داد که دانه‌های لاستیک مانند سیال در مقابل گلوله رفتار می‌کنند. Guevara و Flyash [۱۸] جهت بررسی

می باشد. انحلال لزجت متلاطم در ناحیه نزدیک دیواره به علت محدود شدن به دیواره و میرایی لزجت اتفاق می افتد. $\sigma_{\tilde{v}}$ ثوابت مدل هستند. لزجت متلاطم (μ) از رابطه زیر محاسبه می شود:

$$\mu_t = \rho \tilde{v} f_{v1} \quad (7)$$

f_{v1} تابع میرایی لزجت است و به صورت زیر تعریف می شود:

$$f_{v1} = \frac{x^3}{x^3 + C_{v1}^3}, \quad x \equiv \frac{\tilde{v}}{v} \quad (8)$$

جمله تولید، $G_{\tilde{v}}$ ، به صورت زیر تعریف می گردد:

$$G_{\tilde{v}} = C_{b1} \rho \tilde{S} \tilde{v} \quad (9)$$

$$\tilde{S} \equiv S + \frac{\tilde{v}}{\kappa^2 d^2} f_{v2} \quad f_{v2} = 1 - \frac{x}{1 + x f_{v1}}$$

C_{b1} و κ ثوابت مدل هستند، d فاصله از دیوار و S اندازه اسکالر تانسور تغییر فرم است که به صورت زیر تعریف می شود:

$$S \equiv |\Omega_{ij}| + C_{prod} \min(0, |S_{ij}| - |\Omega_{ij}|) \quad (10)$$

$$|S_{ij}| \equiv \sqrt{2 \tilde{S}_{ij} \tilde{S}_{ij}} \quad |\Omega_{ij}| \equiv \sqrt{2 \Omega_{ij} \Omega_{ij}} \quad C_{prod} = 2.0$$

که \tilde{S}_{ij} نرخ تغییر شکل متوسط تغییر فرم بوده و با رابطه زیر مشخص می شود:

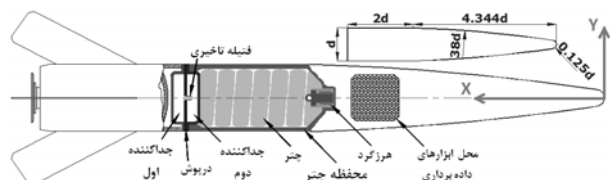
$$\tilde{S}_{ij} = \frac{1}{2} \left(\frac{\partial \tilde{u}_j}{\partial x_i} + \frac{\partial \tilde{u}_i}{\partial x_j} \right) \quad (11)$$

از آنجاییکه جمله $G_{\tilde{v}}$ هم شامل چرخش است و هم شامل تانسورهای تغییر شکل، در نتیجه نرخ تولید لزجت گردابهای افزایش می یابد. ثوابت مدل به صورت زیر تعریف شده‌اند:

$$\begin{aligned} C_{b1} &= 0.1335, & C_{b2} &= 0.622, \\ \sigma_{\tilde{v}} &= 2/3, & C_{v1} &= 7.1 \\ C_{\omega 1} &= C_{b1} / \kappa^2 + (1 + C_{b2}) / \sigma_{\tilde{v}}, \\ C_{\omega 2} &= 0.3, & C_{\omega 3} &= 2.0, & \kappa &= 0.41 \end{aligned} \quad (12)$$

اگر شکل کلی معادله انتقال در مختصات دو بعدی مطابق

نایپایدارسازی در بازیابی نرم یک پرتا به است.



شکل ۱- پیکره راکت و اجزاء مکانیزم بازیافت - پیکره بخش معلق زننده راکت پس از جدایش اول

معادلات حاکم بر جریان سیال و گسسته‌سازی

معادلات اساسی که بقای جرم، ممنتوم و اسکالار را بیان می کنند در حالت برداری و مستقل از سیستم مختصات به صورت زیر بیان می شوند:

$$\frac{\partial \rho}{\partial t} + \operatorname{div}(\rho \vec{V}) = S_m \quad (1)$$

$$\frac{\partial(\rho \vec{V})}{\partial t} + \operatorname{div}(\rho \vec{V} \otimes \vec{V} - \vec{T}) = \vec{S}_v \quad (2)$$

$$\frac{\partial(\rho \phi)}{\partial t} + \operatorname{div}(\rho \vec{V} \phi - \vec{q}) = \vec{S}_\Phi \quad (3)$$

ρ چگالی، \vec{V} بردار سرعت و ϕ به عنوان یک متغیر مستقل اساسی است. \vec{T} تانسور تنش است و برای یک سیال نیوتونی به صورت زیر بیان می شود:

$$\vec{T} = - \left(P + \frac{2}{3} \mu \operatorname{div} \vec{V} \right) \vec{I} + 2 \mu \vec{D} \quad (4)$$

\vec{q} بردار شار اسکالار است و از قانون فوریه بدست می آید:

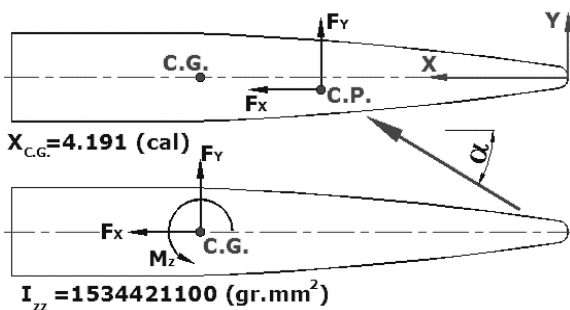
$$\vec{q} = \Gamma_\phi \operatorname{grad} \Phi \quad (5)$$

مدل اغتشاشی اسپالارت آلمارس یک مدل تک معادله‌ای ساده بوده که یک معادله مدل شده انتقال را برای به دست آوردن μ حل می کند. مدل مذکور هنوز جزو رایجترین مدلها در کاربردهای هوافضائی می باشد. متغیر انتقالی در مدل مذکور، \tilde{v} است که معرف لزجت سینماتیک متلاطم (بجز در نواحی نزدیک دیواره) می باشد.

$$\rho \frac{D \tilde{v}}{Dt} = G_{\tilde{v}} \left[\frac{\partial}{\partial x_j} \left\{ (\mu + \rho \tilde{v}) \frac{\partial \tilde{v}}{\partial x_j} \right\} + C_{b2} \rho \left(\frac{\partial \tilde{v}}{\partial x_j} \right)^2 \right] - Y_{\tilde{v}} \quad (6)$$

که $G_{\tilde{v}}$ تولید لزجت متلاطم و $Y_{\tilde{v}}$ انحلال لزجت متلاطم

۱۵۳۴ کیلوگرم متر است (شکل ۳).



شکل ۳- نمودار نیروهای ایرودینامیکی

شتاب دورانی راکت از معادله گشتاور محاسبه می‌شود. با انتگرالگیری از شتاب دورانی، سرعت دورانی و با انتگرالگیری از سرعت دورانی، موقعیت زاویه‌ای راکت محاسبه می‌شود. دو مؤلفه شتاب خطی راکت با توجه به دو مؤلفه نیروی ایرودینامیکی محاسبه می‌شود. با انتگرالگیری از مؤلفه‌های شتاب خطی، دو مؤلفه سرعت خطی بدست می‌آید. با انتگرالگیری از دو مؤلفه سرعت خطی، موقعیت مکانی راکت محاسبه می‌شود. شرایط اولیه راکت بر اساس سیمولاتور پروازی راکت کامل استخراج می‌شود. این شبیه‌ساز بر اساس مدل شش درجه آزادی در محیط سیمولینک نرم‌افزار مطلب تنظیم شده است. سرعت خطی جدایش با توجه به محاسبات مکانیزم جدایش، که بر اساس مدل‌های بالستیک داخلی تنظیم گردیده، تنها 2m/s است. سرعت جدایش به مقادیر اولیه سرعت خطی افزوده می‌شود. اساساً مسئله بالستیک خارجی یک مسئله مقدار اولیه است که شبیه‌ساز دینامیک پرواز راکت معلق زنده، آنرا به روش انتگرالگیری عددی رانج-کوتا مرتبه چهارم حل می‌کند.

دیاگرام نیروهای ایرودینامیکی در شکل ۳ مشاهده می‌شود. اگر دو مؤلفه نیرو از مرکز فشار به مرکز جرم منتقل شوند، گشتاور M_z نیز بایستی طبق رابطه (۱۷) در نظر گرفته شود.

$$M_z = (X_{C.G.} - X_{C.P.}) \times F_y + Y_{C.P.} \times F_x \quad (17)$$

در زوایای حمله 180° الی 360° درجه، نیروها و گشتاور به صورت ذیل در نظر گرفته می‌شوند.

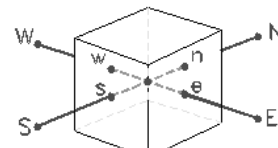
$$F_x(2\pi - \alpha) = F_x(\alpha) \quad (18)$$

معادله (۱۳) تنظیم نماییم:

$$\frac{\partial(\rho\phi)}{\partial t} + \frac{\partial(\rho u\phi)}{\partial x} + \frac{\partial(\rho v\phi)}{\partial y} - \frac{\partial}{\partial x} \left(\Gamma_\phi \frac{\partial\phi}{\partial x} \right) - \frac{\partial}{\partial y} \left(\Gamma_\phi \frac{\partial\phi}{\partial y} \right) = S_\phi \quad (13)$$

انتگرالگیری از معادله (۱۳) روی یک المان حجمی و استفاده از تئوری دیورژانس به برقراری تعادل بین ترمehای شار جابجایی، پخشی و چشمeh می‌شود. ترم گذرا با روش ضمنی اولر و شار پخشی نیز به وسیله تفاضل مرکزی محاسبه می‌شود. به عنوان مثال برای سطح e از حجم کنترل شکل ۲

داریم:



شکل ۲- المان حجمی

$$I_e^D = D_e(\phi_P - \phi_E) - S_e^\phi \quad (14)$$

گسسته کردن شار جابجایی نیاز به توجه خاصی دارد و موضوع روشهای مختلفی است که تا کنون توسعه یافته است. بیان شار جابجایی برای سطح e سلول به صورت زیر می‌باشد:

$$I_e^c = (\rho.v.A)_e \phi_e = F_e \phi_e \quad (15)$$

مقدار متغیر ϕ_e در سطح سلول مشخص نیست و باید توسط میانیابی با استفاده از مقادیر گرههای مجاور تخمین زده شود. در این مقاله ϕ_e با استفاده از روش بالا دست مرتبه دوم محاسبه و پس از جایگذاری در معادله (۱۵) شکل نهایی معادلات گسسته شده به صورت زیر خواهد بود:

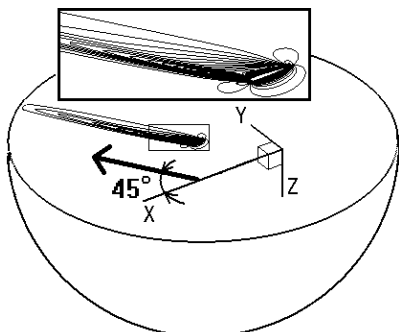
$$A_p \cdot \phi_p = \sum_{m=E,W,N,S} A_m \cdot \phi_m + S'_\phi \quad (16)$$

معادلات حاکم بر دینامیک پرواز

جهت تحلیل دینامیک پرواز راکت ناپایدار، فرض می‌شود که حرکت در یک صفحه بوده و انحراف جانسی پرتا به قابل اغماض باشد. در این مدل جرم پرتا به در مرکز جرم آن متتمرکز شده است ولی لختی دورانی آن نیز مورد توجه قرار می‌گیرد. جرم بخش بازیافتی راکت ۲۵ کیلوگرم و مرکز جرم این بخش در فاصله $4/19$ برابر کالیبر از دماغه و لختی دورانی آن معادل

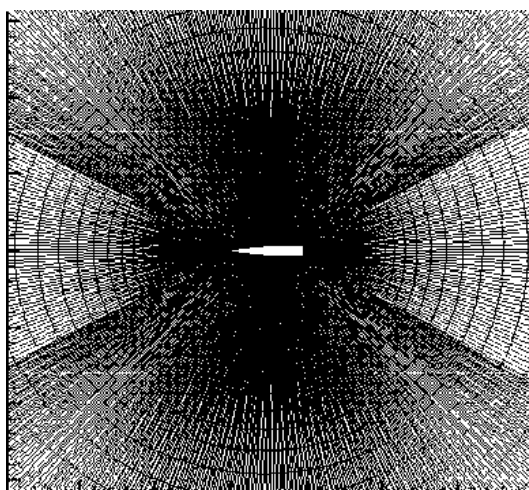
نتایج عددی

در ابتدای هر شبیه‌سازی، انتخاب نوع شبکه و شبکه‌سازی است. کل میدان حل به صورت یک نیمکره (شکل ۵) به شعاع ۱۵/۵ برابر طول پرتابه در نظر گرفته شده که قاعده نیمکره پرتابه را به دو نیم تقسیم می‌کند. امتداد جریان آزاد در صفحه تقارن قرار دارد.



شکل ۵- نیمکره میدان حل

میدان محاسباتی برای این حالت به صورت O-Grid (شکل ۶) با تعداد ۸۵۱۳۶۸ گره برای نصف میدان حول پرتابه در نظر گرفته شده است. برای بررسی اثر ریزی شبکه، میدان حل در چند حالت با چند نوع شبکه‌بندی دیگر حل شده که ریزترین آن دارای ۳۳۳۳۰۵۰ گره است.



شکل ۶- شبکه صفحه تقارن

چون هدف اصلی از حل میدان محاسبه نیروها است، خطای ۱/۴ درصدی شبکه درشت نسبت به شبکه ریز مناسب به نظر رسیده و محاسبات با ۸۵۱۳۶۸ گره دنبال گردیده است.

$$F_y(2\pi - \alpha) = -F_y(\alpha) \quad (19)$$

$$M_z(2\pi - \alpha) = -M_z(\alpha) \quad (20)$$

مقادیر فوق در مختصات بدن محاسبه شده‌اند و قبل از انتگرالگیری بایستی به مختصات ثابت زمینی منتقل شوند (شکل ۴). در این انتقال، گشتاور M_z تغییری نمی‌کند.

$$F_\xi = -F_x \times \cos(\alpha + \theta) - F_y \times \sin(\alpha + \theta) \quad (21)$$

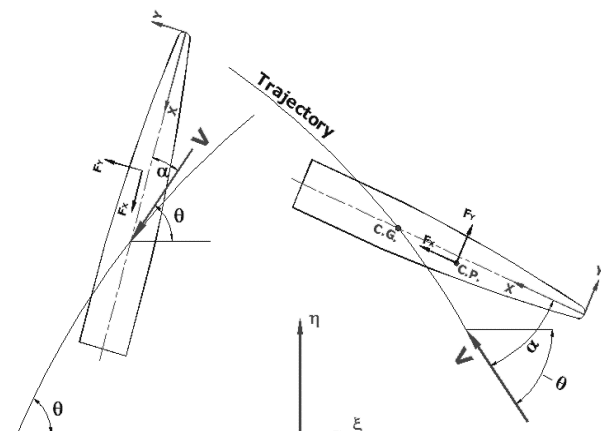
$$F_\eta = -F_x \times \sin(\alpha + \theta) + F_y \times \cos(\alpha + \theta) - mg \quad (22)$$

همچنین نیروها و گشتاور بر اساس نیمی از میدان جریان محاسبه شده‌اند و در محاسبه شتاب پرتابه، دو برابر آن در نظر گرفته می‌شود.

$$\ddot{\gamma} = 2F_\xi/m \quad (23)$$

$$\ddot{\eta} = 2F_\eta/m - g \quad (24)$$

$$\ddot{\alpha} = 2M_z/I_{zz} \quad (25)$$



شکل ۴- مختصات بدن و مختصات ثابت زمینی

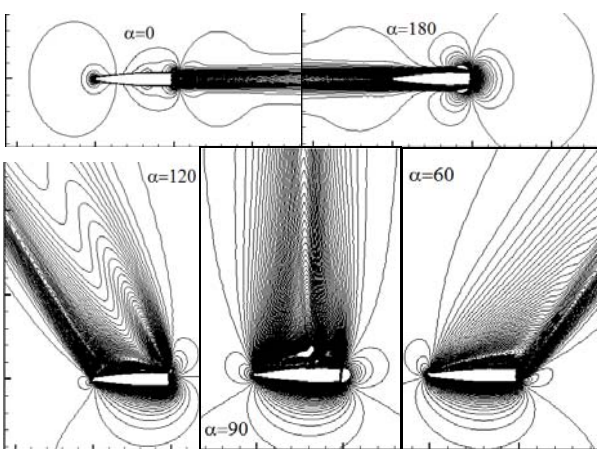
روش حل

پس از گسسته‌سازی معادلات حاکم بر سیال، از روش‌های تکراری برای حل متواالی معادلات مذکور استفاده می‌شود. ابتدا معادلات ممنوط حل شده و سپس با تلفیق معادلات پیوستگی و ممنوط، معادله فشار یا تصحیح فشار بدست می‌آید. ایده‌های مختلفی بر مبنای این منطق وجود دارد که در کار حاضر از روش SIMPLE استفاده شده است. در این پژوهش از یک نرم‌افزار تجاری معتبر استفاده شده است.

اولین تلاشها رابطه $C_x = C_{x_0} \cdot \cos^2(\alpha)$ ارائه شد، ولی این رابطه تنها در جریان مادون صوت و زوایای کمتر از ۳۰ درجه مناسب است. Moore و Hymer [۲۴] تغییرات مؤلفه نیروی محوری نسبت به زاویه حمله را از صفر تا ۹۰ درجه بررسی کردند. آنها به رابطه قدیمی $C_x = C_{x_0} \cdot \cos^2(\alpha)$ ترم $f(M, \alpha)$ را افزودند و بر اساس برازش منحنی برنتایج حل معادلات دیفرانسیل، ترم جدید را به صورت معادله‌ای درجه چهارم پیشنهاد کردند. به دلیل اهمیت تغییرات مؤلفه نیروی محوری و عمودی نسبت به زاویه حمله، در این قسمت این پارامترها در اعداد ماخ مختلف مورد بررسی قرار گرفته است.

Kumar و همکارانش [۲۵] بدنه موشک را در جریان سوپرسونیک و زاویه حمله بالا با سه مدل اغتشاشی Spalart-Allmaras و Degani-Schiff، Baldwin-Lomax شبیه سازی عددی کرده و نتایج را با مقادیر تجربی مقایسه کردند. آنها نتیجه گرفتند که مدل Spalart-Allmaras می‌تواند همه پدیده‌های جریان در زاویه حمله بالا را تخمین بزند. همچنین دکتر محمود پستدیده فرد و ملک جعفریان [۲۶] بدنه موشک را در جریان سوپرسونیک با زاویه حمله ۳۲ تا ۴۴ درجه با مدل اغتشاشی Modified Baldwin-Lomax بررسی و نتایج عددی خود را با نتایج تجربی مقایسه کردند.

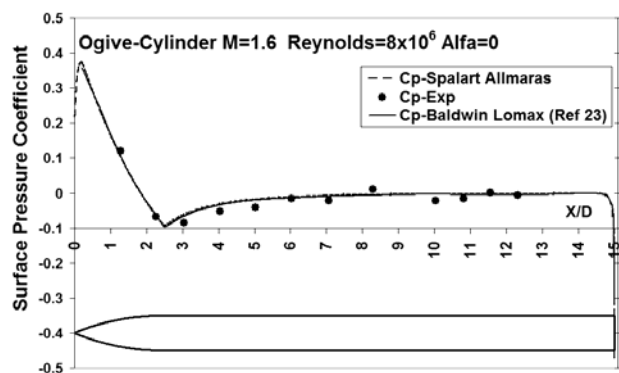
شکل ۹ خطوط هم‌تراز ماخ را در زوایای حمله مختلف برای ماخ ورودی ۰/۵ نشان می‌دهد.



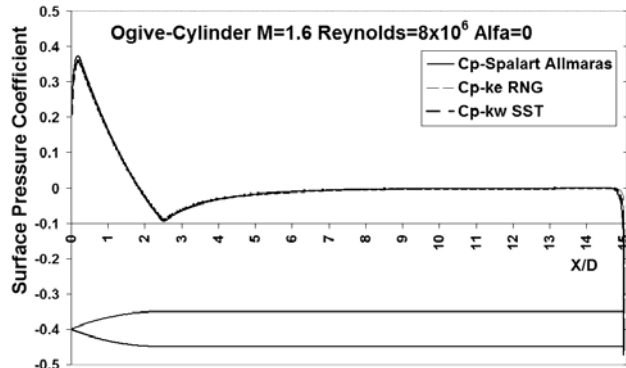
شکل ۹- خطوط هم‌تراز ماخ ($M_\infty = 0.5$)

اشکال ۱۰، ۱۱ و ۱۲ به ترتیب تغییرات مؤلفه محوری نیرو، مؤلفه عمودی نیرو و مرکز فشار نسبت به زاویه حمله را

در هر دو شبکه فاصله اولین گره نزدیک به پرتابه بر اساس مقادیر Y^+ توصیه شده تنظیم شده است. نیروها و گشتاور ایرودینامیکی بخش معلق زننده راکت در چهار عدد ماخ مختلف و در زوایای مختلف محاسبه شده است. بجز در زاویه حمله صفر و ۱۸۰ درجه، میدان تقارن تقارن محوری نیست و باید سه بعدی حل شود. البته چون صفحه xy، یک صفحه تقارن است تنها نیمی از میدان جریان محاسبه می‌شود.



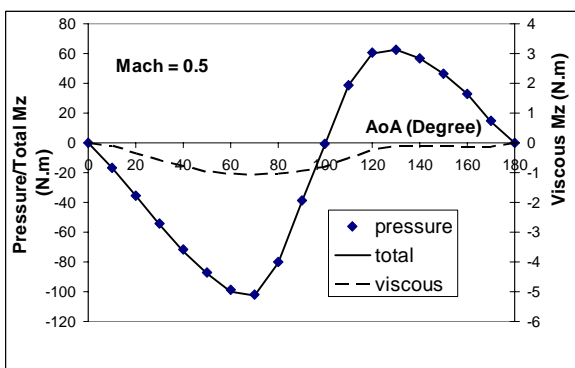
شکل ۷- توزیع ضریب فشار روی دماغه و بدنه



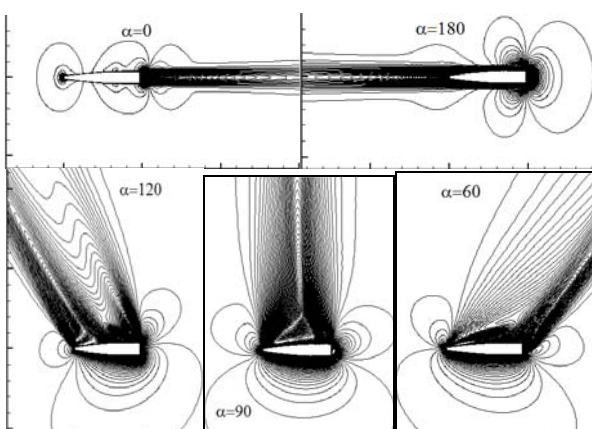
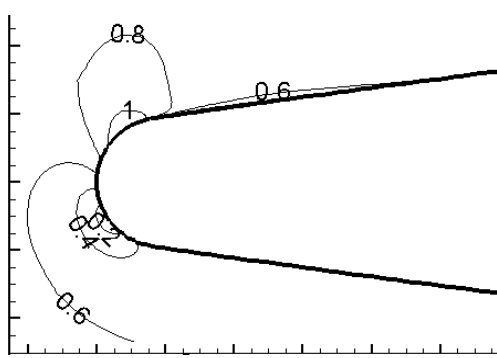
شکل ۸- توزیع ضریب فشار برای سه مدل توربولانس

به منظور اعتبارسنجی روند شبیه‌سازی، ابتدا ضریب فشار در یک دماغه اگیو و بدنه استوانه‌ای با طول کل پرتابه ۱۵ و طول دماغه ۲/۵ برابر کالیبر محاسبه و با نتایج عددی و آزمایشگاهی حیدری و همکاران [۲۳] مقایسه شده است. ماخ ورودی ۱/۶ و رینولدز جریان معادل 8×10^6 است. شکل ۷ انبساط کامل نتایج را نشان می‌دهد. محاسبات با دو مدل اغتشاشی دیگر تکرار شده که نتایج این سه مدل اغتشاشی نیز بسیار به هم نزدیک هستند (شکل ۸).

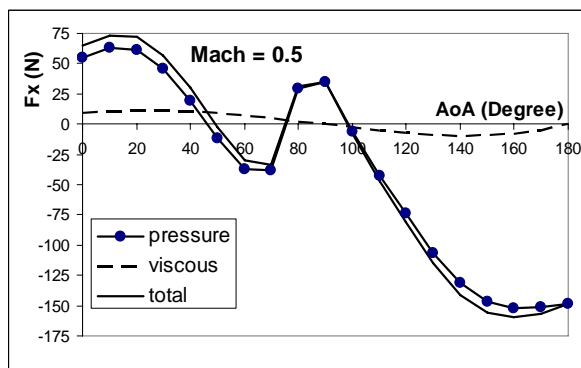
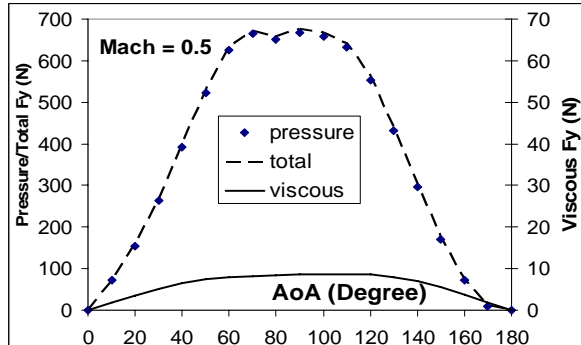
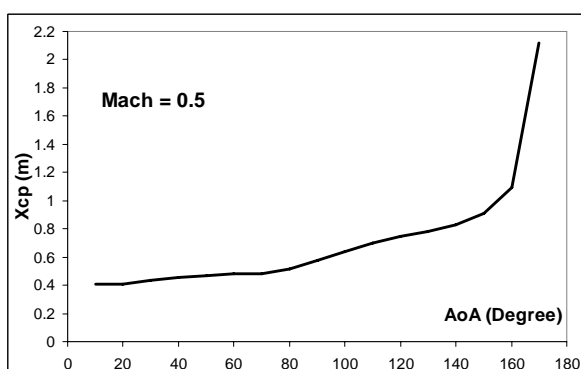
حقیقین زیادی سعی کردند تغییرات مؤلفه محوری نیروی نسبت به زاویه حمله را در غالب فرمولی بسته ارائه کنند. در

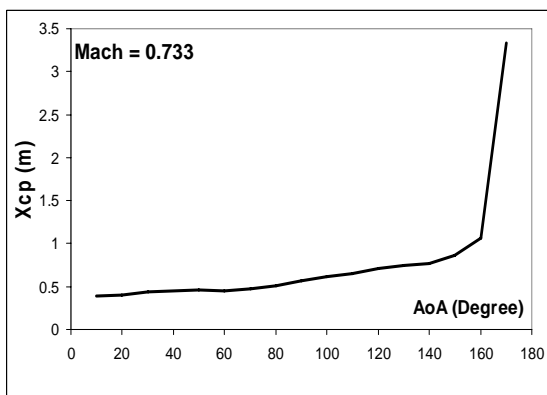
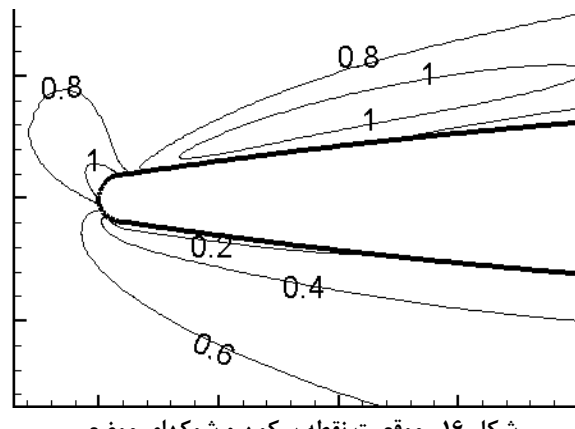
شکل ۱۳- تغییرات گشتاور حول مرکز جرم ($M_{\infty} = 0.5$)

شکل ۱۴ خطوط هم‌تراز ماخ را در زوایای حمله مختلف برای ماخ ورودی $733/0$ نشان می‌دهد. میدان جریان در زوایای 0° تا 180° با فواصل 10° درجه با فرض جریان پایدار حل شده است. اشکال ۱۵ و ۱۶ موقعیت نقطه سکون و تشکیل شوک موضعی را به ترتیب در زوایای حمله 30° و 60° درجه نشان می‌دهد. همانطور که مشاهده می‌شود در زاویه حمله 60° درجه دو شوک در روی هندسه ظاهر می‌شود.

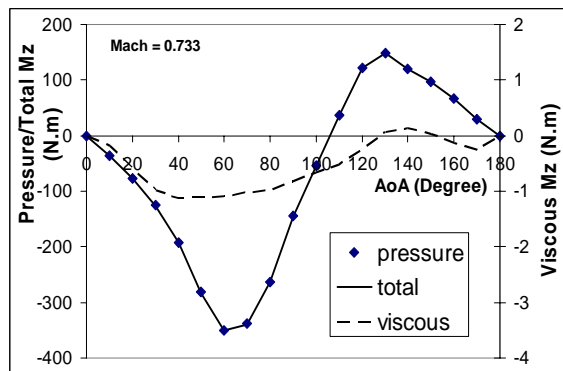
شکل ۱۴- خطوط هم‌تراز ماخ ($M_{\infty} = 0.733$)شکل ۱۵- موقعیت نقطه سکون و شوک موضعی
($M_{\infty} = 0.733, \alpha = 30^{\circ}$)

نشان می‌دهند. تغییرات گشتاور حول مرکز جرم در شکل ۱۳ آورده شده است. این نتایج نشان می‌دهد که اولاً بخش لزج نیروها نسبت به بخش فشاری بسیار کوچک است ثانیاً در زوایای حمله بین 10° تا 150° درجه، مؤلفه عمودی نیرو اهمیتی بیش از مؤلفه محوری دارد ثالثاً تغییرات مؤلفه محوری نسبت به زاویه حمله غیر معمول است، به نحوی که سه بار محور افقی را قطع می‌کند. این رفتار در توضیح اشکال ۲۳ و ۲۴ بر اساس تغییرات رژیم جریان توضیح داده می‌شود.

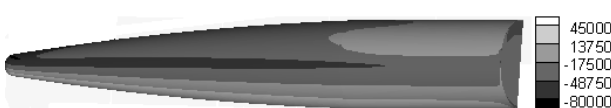
شکل ۱۰- تغییرات F_x نسبت به زاویه حمله ($M_{\infty} = 0.5$)شکل ۱۱- تغییرات F_y نسبت به زاویه حمله ($M_{\infty} = 0.5$)شکل ۱۲- تغییرات X_{cp} نسبت به زاویه حمله ($M_{\infty} = 0.5$)

شکل ۱۹- تغییرات X_{cp} نسبت به زاویه حمله ($M_\infty = 0.733$)

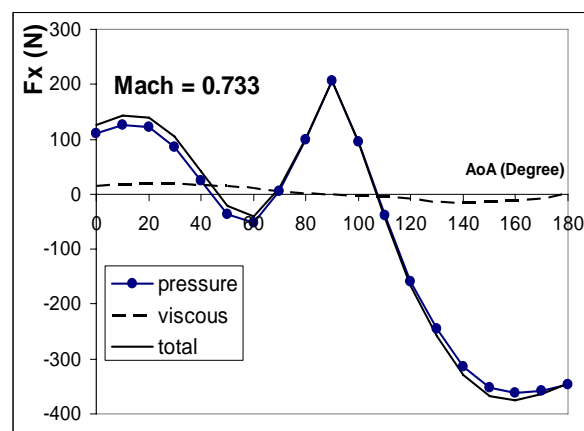
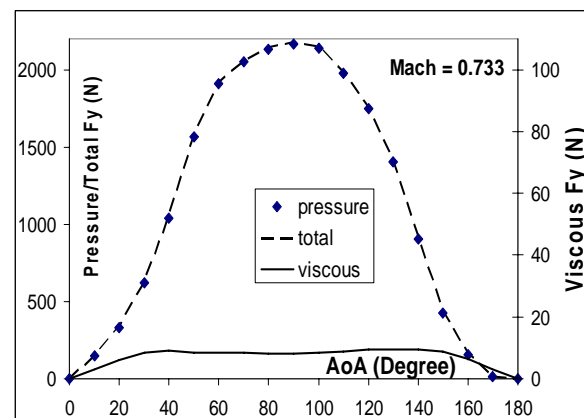
شکل ۱۶- موقعیت نقطه سکون و شوکهای موضعی

 $(M_\infty = 0.733, \alpha = 60^\circ)$ شکل ۲۰- تغییرات گشتاور حول مرکز جرم ($M_\infty = 0.733$)

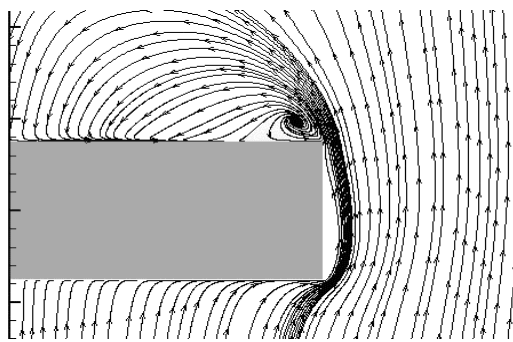
از اشکال اخیر می‌توان نتیجه گرفت که اولاً در ماخهای بالاتر، اثر بخش لزج نسبت به بخش فشاری نیروها باز هم کاهش می‌یابد ثانیاً در زوایای حمله بین 10° تا 150° درجه، مؤلفه عمودی نیرو اهمیتی بیش از مؤلفه محوری دارد ثالثاً تغییرات مؤلفه محوری نیروی ایرودینامیکی نسبت به زاویه حمله غیر معمول است، به نحوی که همچنان سه بار محور افقی را قطع می‌کند.

شکل ۲۱- خطوط هم تراز فشار روی سطح پرتا به
($M_\infty = 0.733, \alpha = 60^\circ$)شکل ۲۲- خطوط هم تراز فشار روی سطح پرتا به
($M_\infty = 0.733, \alpha = 90^\circ$)

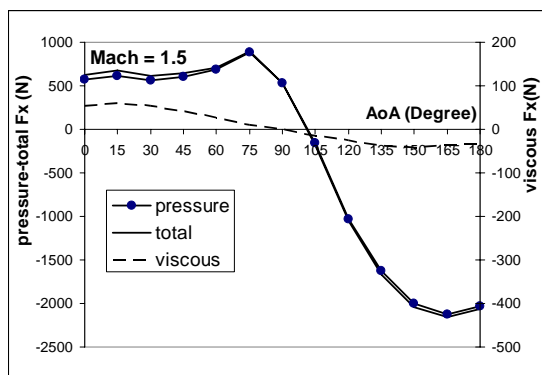
برای بررسی تغییرات غیر معمول مؤلفه محوری نیرو نسبت به زاویه حمله، جریان با شبکه ریز بررسی شد. از آنجا

شکل ۱۷- تغییرات F_x نسبت به زاویه حمله ($M_\infty = 0.733$)شکل ۱۸- تغییرات F_y نسبت به زاویه حمله ($M_\infty = 0.733$)

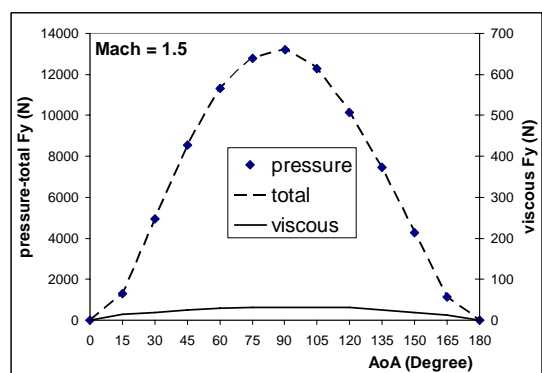
اشکال ۱۸، ۱۷ و ۱۹ به ترتیب تغییرات مؤلفه محوری نیرو، مؤلفه عمودی نیرو و مرکز فشار نسبت به زاویه حمله را نشان می‌دهند. شکل ۲۰ تغییرات گشتاور حول مرکز جرم را نشان می‌دهد.



شکل ۲۵- خطوط جریان در انتهای پرتا به
($M_{\infty} = 0.733, \alpha = 90^\circ$)



شکل ۲۶- تغییرات F_x نسبت به زاویه حمله ($M_{\infty} = 1.5$)

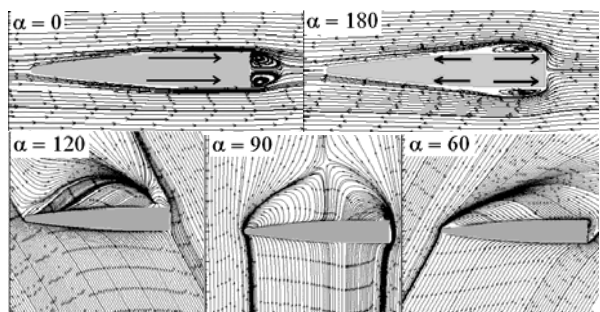


شکل ۲۷- تغییرات F_y نسبت به زاویه حمله ($M_{\infty} = 1.5$)

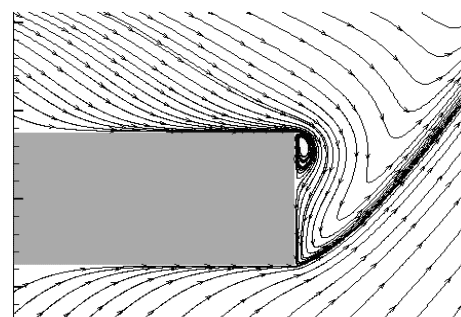
اشکال ۲۴ و ۲۵ خطوط جریان در انتهای پرتا به را برای زوایای حمله 60° و 90° درجه نشان می‌دهند. این اشکال به خوبی تنوع رژیم جریان را پدیدار می‌کنند. بنابراین دلیل این رفتار غیر معمول را بایستی تنوع موقعیت گردابه‌ها دانست.
اشکال ۲۶ تا ۳۰ نتایج حل جریان در ماخ $1/5$ را نشان می‌دهند. شکل ۲۶، ۲۷ و ۲۸ به ترتیب تغییرات مؤلفه محوری نیرو، مؤلفه عمودی نیرو و مرکز فشار نسبت به زاویه حمله را نشان می‌دهند. شکل ۲۹ تغییرات گشتاور حول مرکز جرم و

keh منحنی مؤلفه محوری نیرو در ماخ $0/5$ و $0/733$ مشابه است، شوک موضعی نقش مهمی نداشته است. فشار نقص مهمی در نیروی ابرودینامیکی داشته و این متغیر تابعی از رژیم جریان است. بنابراین تنوع رژیم جریان باعث تنوع رژیم فشار و تغییرات غیر معمول مذکور شده است. همچنین رفتار Hymer Moore [۲۴] انطباق دارد. به عنوان نمونه شکل ۶B این مرجع رفتاری مشابه با شکل ۱۹ داشته و نشان می‌دهد که تغییرات مؤلفه افقی نیروی پسا نسبت به زاویه حمله، سه بار محور افقی را قطع می‌کند. بنابراین رفتار غیر معمول یاد شده مورد تایید این مرجع نیز هست.

اشکال ۲۱ و ۲۲ خطوط هم فشار را روی سطح پرتا به برای زوایای حمله 60° و 90° درجه نشان می‌دهند.



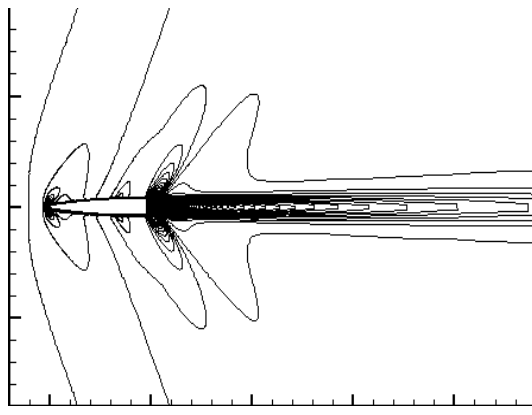
شکل ۲۳- خطوط جریان در صفحه تقارن ($M_{\infty} = 0.733$) برای بررسی رژیم جریان بایستی نگاهی سه بعدی به خطوط جریان داشت ولی ترسیم خطوط دوبعدی جریان در صفحه تقارن، خود بیانگر تنوع یاد شده است. شکل ۲۳ خطوط جریان در صفحه تقارن را برای زوایای حمله 0° , 60° , 90° و 120° برای گردابه‌ها نقشی در نیروی محوری ندارند ولی در زوایه 180° درجه، گردابه‌ها باعث کاهش نیروی محوری می‌شوند.



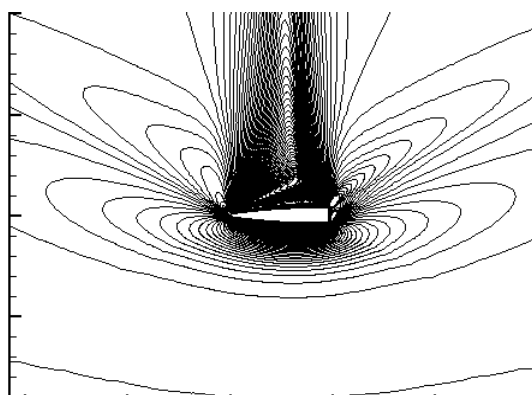
شکل ۲۴- خطوط جریان در انتهای پرتا به
($M_{\infty} = 0.733, \alpha = 60^\circ$)

عمودی نیرو اهمیتی بیش از مؤلفه محوری دارد ثالثاً تغییرات مؤلفه محوری نسبت به زاویه حمله غیر معمول نیست.

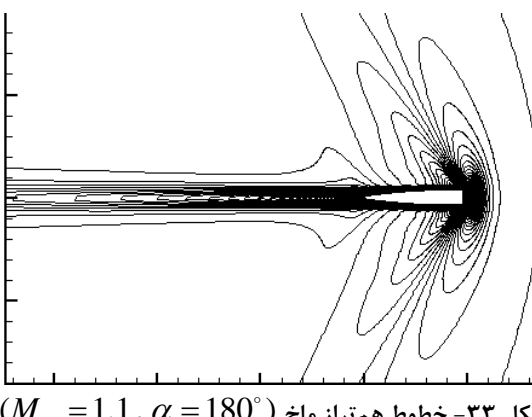
بدلیل اینکه ضریب پسا در ماخهای گذر صوتی به حد اکثر خود می‌رسد، عدد ماخ $1/1$ برای آزمایش عددی بعدی انتخاب شده است. اشکال ۳۱، ۳۲، ۳۳ خطوط همتراز ماخ را در زوایای 0° ، 90° و 180° درجه نشان می‌دهند.



شکل ۳۱- خطوط همتراز ماخ ($M_\infty = 1.1, \alpha = 0^\circ$)

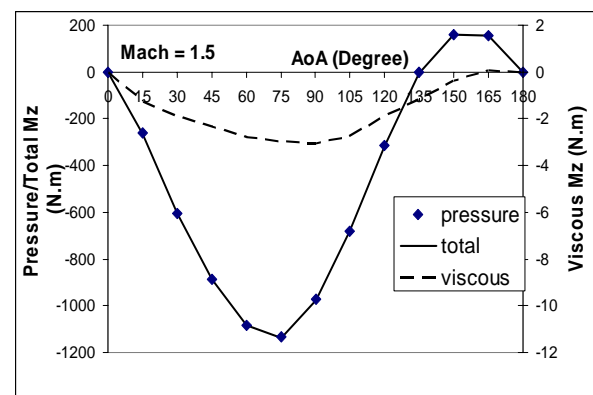


شکل ۳۲- خطوط همتراز ماخ ($M_\infty = 1.1, \alpha = 90^\circ$)

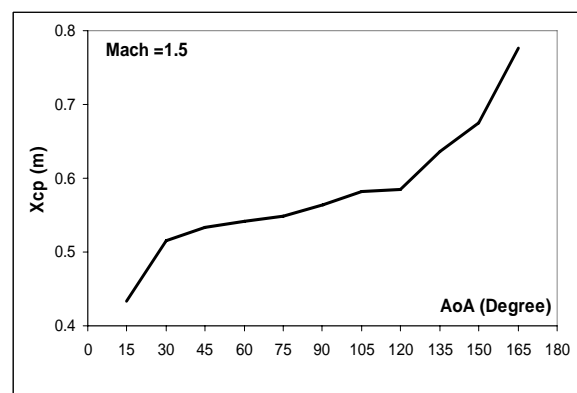


شکل ۳۳- خطوط همتراز ماخ ($M_\infty = 1.1, \alpha = 180^\circ$)

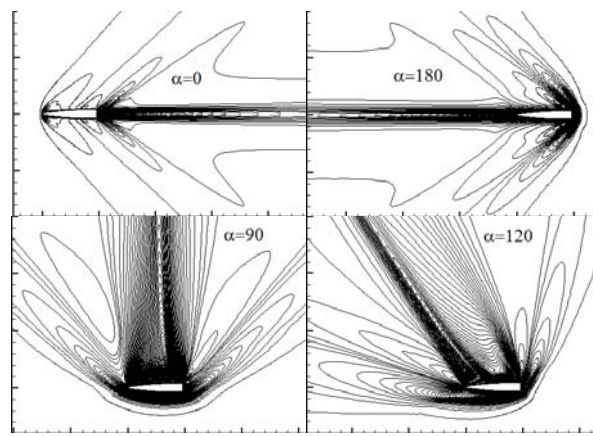
شکل ۳۰- خطوط همتراز ماخ را در زوایای حمله مختلف نشان می‌دهد.



شکل ۳۰- تغییرات گشتاور حول مرکز جرم ($M_\infty = 1.5$)



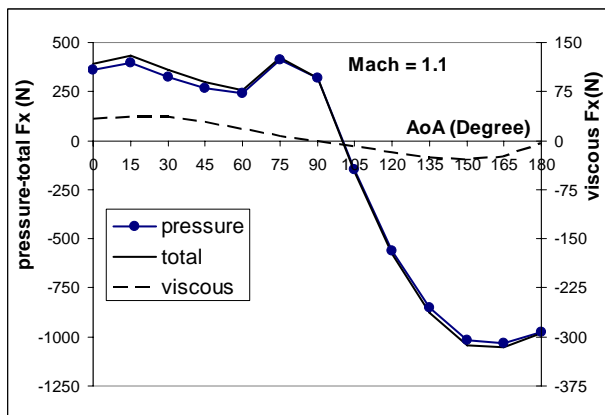
شکل ۲۹- تغییرات X_{cp} نسبت به زاویه حمله ($M_\infty = 1.5$)



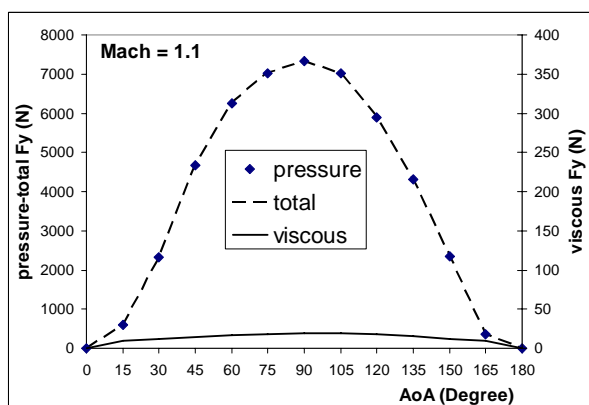
شکل ۳۰- خطوط همتراز ماخ ($M_\infty = 1.5$)

در این اشکال مشخص است که اولاً در جریان فراصوت، اثر بخش لرج نسبت به بخش فشاری نیروها بسیار ناچیز است ثانیاً حدوداً در زوایای حمله بین 10° تا 160° درجه، مؤلفه

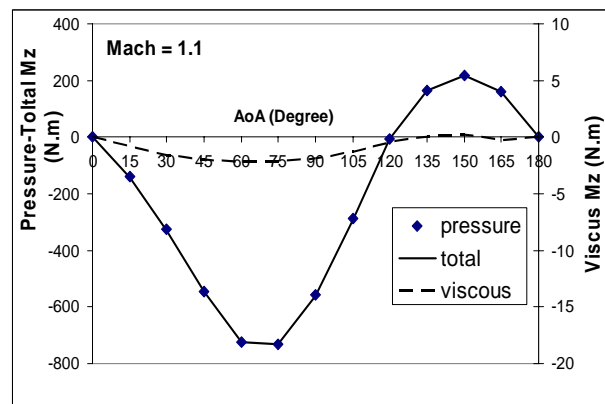
با توجه به نتایج اخیر، میانیابی خطی در منحنی مؤلفه‌های نیرو و گشتاور دقیق‌تری از میانیابی خطی در منحنی ضرایب آیرودینامیکی دارد و روش اول در شبیه‌ساز دینامیک پرواز استفاده شده است.



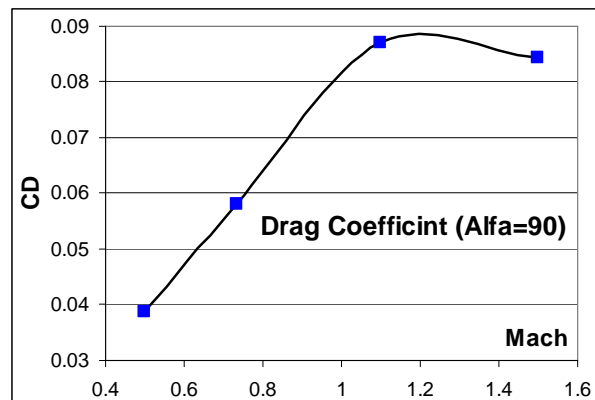
شکل ۳۷- تغییرات F_x نسبت به زاویه حمله ($M_\infty = 1.1$)



شکل ۳۸- تغییرات F_y نسبت به زاویه حمله ($M_\infty = 1.1$)

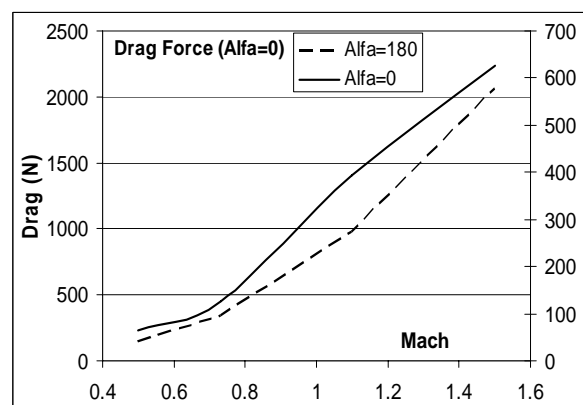


شکل ۳۹- تغییرات گشتاور حول مرکز جرم ($M_\infty = 1.1$)

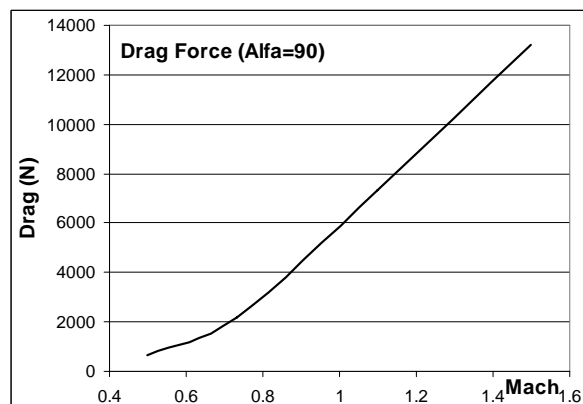


شکل ۳۴- تغییرات ضریب درگ نسبت به ماخ ($\alpha = 90^\circ$)

شکل ۳۴ تغییرات ضریب پسا (مؤلفه نیرو در جهت جریان) نسبت به ماخ را در زاویه ۹۰ درجه نشان می‌دهد.



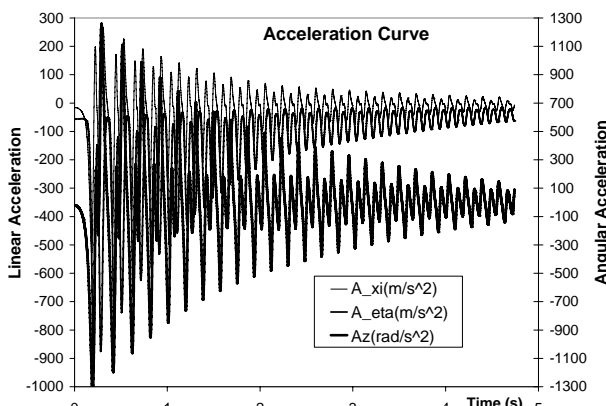
شکل ۳۵- تغییرات نیروی درگ نسبت به ماخ ($\alpha = 0^\circ$)



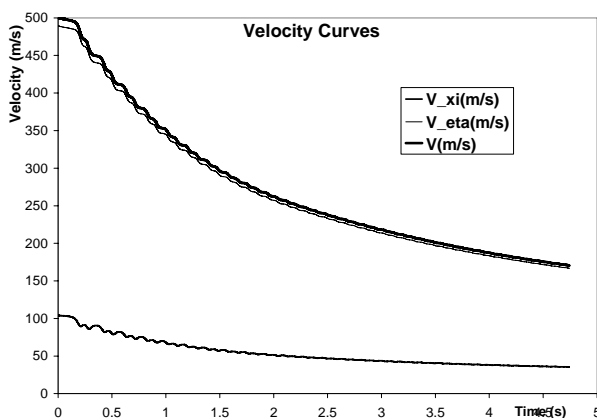
شکل ۳۶- تغییرات نیروی درگ نسبت به ماخ ($\alpha = 90^\circ$)

تغییرات نیروی پسا نسبت به ماخ در زوایای ۹۰ و ۱۸۰ درجه در اشکال ۳۵ و ۳۶ نشان داده شده است.

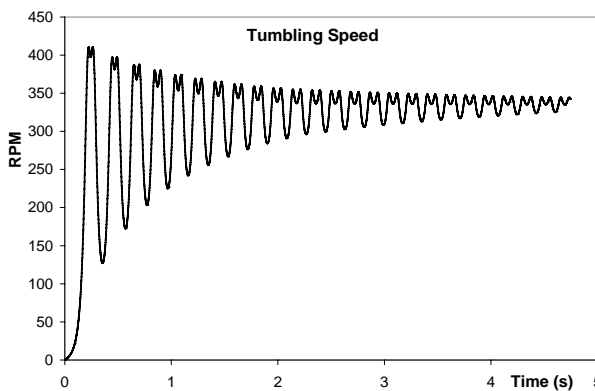
شتاب منفی افزایش یافته و سپس ناگهان نوسانات شتاب شروع می‌شود. حداکثر شتاب محوری حدود ۱۴ و حداکثر شتاب جانبی حدود ۹۷ برابر شتاب جاذبه است که بسیار کمتر از شتاب منفی در روش‌های دیگر بازیابی نرم است که در حدود چند صد برابر جاذبه است.



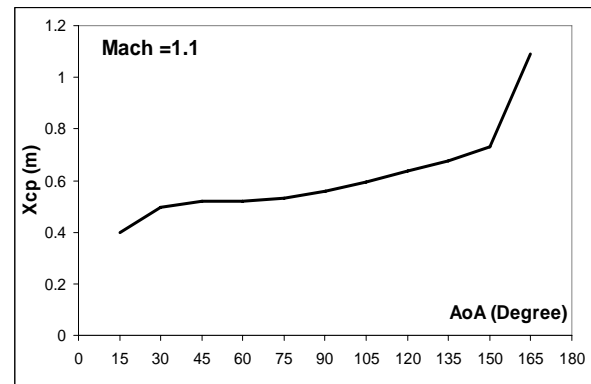
شکل ۴۲- تغییرات مؤلفه‌های شتاب در مختصات زمینی



شکل ۴۳- تغییرات مؤلفه‌های سرعت خطی



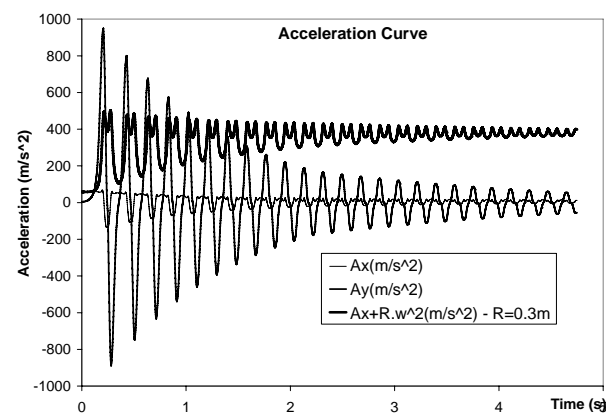
شکل ۴۴- تغییرات سرعت دورانی



شکل ۴۰- تغییرات Xcp نسبت به زاویه حمله

اشکال ۳۷، ۳۸ و ۳۹ به ترتیب تغییرات مؤلفه محوری نیرو، مؤلفه عمودی نیرو و مرکز فشار نسبت به زاویه حمله را نشان می‌دهند. همچنین تغییرات گشتاور حول مرکز جرم در شکل ۴۰ قابل مشاهده می‌باشد.

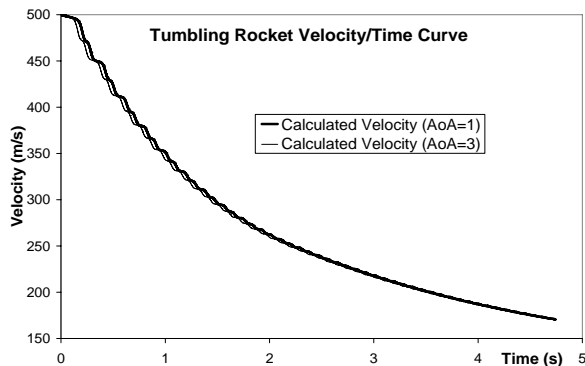
در مطالعه دینامیک پرواز، راکت در زاویه ۸۵ درجه شلیک می‌شود و پس از اینکه سرعت آن از ۶۰۰ به ۵۰۰ متر بر ثانیه کاهش یافت، جدایش انجام می‌شود. در این لحظه زاویه مسیر ۷۸ درجه و راکت در موقعیت (۱۰۰۰، ۱۰۰۰) تخمین زده شده است. اگر زاویه حمله در لحظه جدایش ۱ درجه باشد، نتایج شبیه‌سازی در اشکال ۴۱ الی ۴۶ نشان داده شده است.



شکل ۴۱- تغییرات مؤلفه‌های شتاب در مختصات بدن

شکل ۴۱ تغییرات مؤلفه‌های شتاب خطی (Ax و Ay) را در مختصات بدن نشان می‌دهد. اگر قطعه‌ای بر روی محور پرتابه و در فاصله ۳۰ cm جلوی مرکز جرم نصب شده باشد، شتاب جانب مرکز آن همواره در امتداد محور و مثبت است و با شتاب Ax جمع می‌شود که در شکل مذکور نمایش داده شده است. ابتدا شتاب منفی حدود 60 m/s^2 است، به تدریج

چهار صدم ثانیه زودتر به سرعت $170/5$ ماخ می‌رسد. چون یک تایمر در زمانی مشخص دستور باز شدن چتر را صادر می‌کند چتر بجای سرعت 170 ، در سرعت 171 متر بر ثانیه باز می‌شود.



شکل ۴۶- اثر زاویه حمله اولیه در منحنی سرعت

نتایج تجربی و تست میدانی

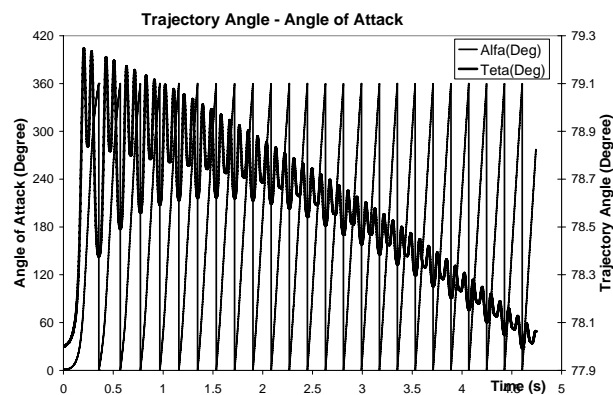
راکت مورد نظر بالک پایدار است که سرعت آن در پایان سوزش موتور به سرعت 600 m/s می‌رسد. اطلاعات پروازی از طریق مدارهای الکترونیکی در یک حافظه الکترونیکی ثبت می‌شوند. یک رادار داپلر بر روی مسیر پرواز پیش‌بینی شده تنظیم می‌شود و منحنی سرعت-زمان پرتابه هنگامی که از مقابله رادار می‌گذرد ثبت می‌شود.

با جدا شدن راکت از لانچر، یک تایمر شروع به کار می‌کند. در زمان تنظیم شده، یک چاشنی الکتریکی روش شده و مقداری باروت را در جداکننده اول منفجر می‌کند (شکل ۱). فشار حاصل چند پیچ را برش زده و قسمت موتور و بالکها جدا می‌شود. همچنین با انفجار این باروت، یک فتیله تأخیری شروع به کار می‌کند. بخش جدا شده جلو، که حاوی ابزارهای اندازه‌گیری است، بزودی ناپایدار شده و شروع به معلق زدن می‌کند. پس ای شدید حاصل از معلق زدن در زمان کوتاهی سرعت را به زیر صوت کاهش می‌دهد.

طول فتیله تأخیری به اندازه‌ای است که در انتهای سوزش آن، سرعت تا حدود 150 الی 170 متر بر ثانیه کاهش یافته باشد. در انتهای فتیله تأخیری مقدار مناسبی باروت تعییه شده است که با فعال شدن آن، جدایش پیروتکنیکی دوم اتفاق می‌افتد. چند پیچ دیگر برش خورده و در اثر فشار گاز، درپوش پرتاب می‌شود. به واسطه یک اتصال کابلی، درپوش محفظه چتر نیز همراه درپوش برداشته می‌شود. یک چتر ترمزی کوچک داخل یک کیسه قرار دارد که با یک بند پارچه‌ای به

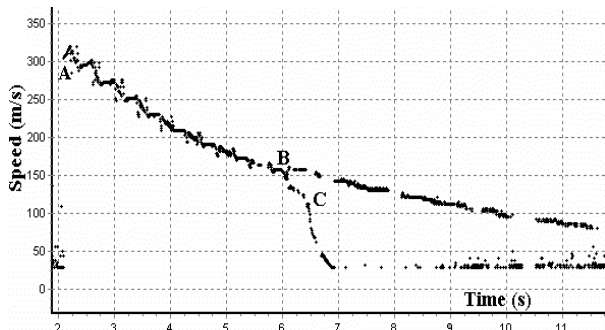
شکل ۴۲ تغییرات مؤلفه‌های شتاب خطی و شتاب دورانی را در مختصات ثابت زمینی نشان می‌دهد. تغییرات مؤلفه‌های سرعت خطی در شکل ۴۳ آمده است. نوسانات سرعت کاملاً محسوس است و گاهی در زوایای حمله بالاتر، نیروی لیفت باعث افزایش مقطعي مؤلفه سرعت عمودی می‌شود. شکل ۴۴ تغییرات سرعت دورانی را نشان می‌دهند. سرعت دورانی تا حدود 410 RPM افزایش می‌یابد.

شکل ۴۵ تغییرات شب مسیر پرواز و زاویه حمله را نشان می‌دهد. مشاهده می‌شود که با تولید نیروی بالابر، در زوایای حمله مثبت، شب مسیر افزایش می‌یابد و این امر باعث شده است که در مجموع شب مسیر در ابتدا از $79/25$ تا 78 درجه افزایش یافته و سپس به تدریج به 78 درجه اولیه بازگردد. این شکل همچنین نشان می‌دهد که در لحظه خروج چتر، پرتابه پس از 24 دوران کامل، در زاویه حمله 277 درجه قرار دارد. همچنین اگر در شکل ۴۵ فرکانس نوسان زاویه مسیر با فرکانس دوران پرتابه مقایسه شود، مشاهده می‌شود که فرکانس تمام پدیده‌ها دو برابر فرکانس دوران پرتابه است. علت این پدیده آنست که F_x و F_y تقریباً در نیمی از دوران مثبت و در نیم دیگر منفی هستند ولی این دو مؤلفه با یکدیگر حدود 90 درجه اختلاف فاز دارند. اثر ترکیبی این دو مؤلفه نیرو باعث دو برابر بودن فرکانس شتاب نسبت به فرکانس زاویه حمله می‌شود. نوسان شتاب علت اصلی تمام پدیده‌های نوسانی بعدی است.

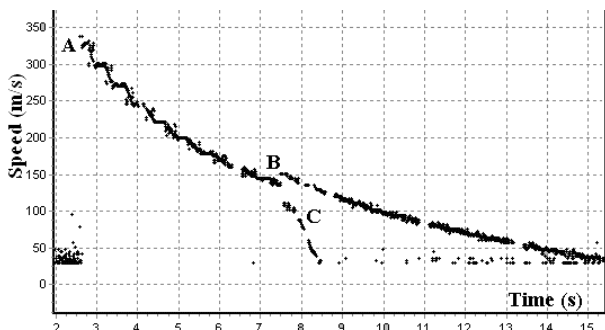


شکل ۴۵- تغییرات شب مسیر پرواز و زاویه حمله برای بررسی اثر زاویه حمله اولیه، زوایای حمله 1 و 3 درجه بررسی و مقایسه شدند. شکل ۴۶ نشان می‌دهد اثر زاویه حمله اولیه در منحنی سرعت تقریباً یک جابجایی کوچک در زمان است. اگر زاویه حمله اولیه از 1 به 3 افزایش یابد، پرتابه

مشخص است. جدایش در سرعت ۱۵۰ متربرثانیه اتفاق افتاده است و منحنی به دو ساخه تفکیک می‌شود. انتهای رها شده پرتابه، به دلیل انفجار جدایش، کمی افزایش سرعت داده و پس از چند ثانیه از دید رadar خارج می‌شود. رadar همچنین بخوبی عملکرد چتر ترمزی و چتر اصلی را به صورت مجزا ثبت می‌کند. حدود ۰/۵ ثانیه پس از جدایش، چتر اصلی باز شده می‌کند. حدود ۰/۵ ثانیه پس از جدایش، چتر اصلی باز شده است. با کاهش سرعت جزء بازیافتی به حدود ۳۰ متربرثانیه، radar دیگر قادر به شناسایی آن نیست.



شکل ۴۸- ثبت اولین منحنی سرعت - زمان توسط رadar داپلر



شکل ۴۹- ثبت دومین منحنی سرعت - زمان توسط رadar داپلر

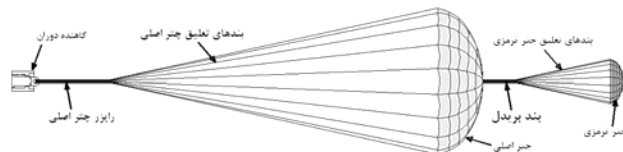
مقایسه نتایج تجربی و تئوریک

به دلیل نوسانات سرعت و اختلاف فاز نوسانات در شلیک‌های مختلف، مقایسه اجزاء سرعت ثبت شده توسط رadar داپلر با نتایج شبیه‌سازی کار مشکلی است. همچنین کرنومتر زمان‌سنجی رadar داپلر دارای خطای شروع اولیه است. بنابراین جهت انطباق منحنی‌ها باید برای هر یک از آنها زمان شروع مستقلی در نظر گرفت.

در شکل ۵۰ منحنی سرعت - زمان ثبت شده توسط رadar، پس از اعمال یک جابجایی زمانی، با نتایج شبیه‌سازی مقایسه شده است. از دیدگاه کلی انطباق منحنی‌ها مناسب است ولی برای بررسی کمی باقیستی توجه کرد که شیب منحنی

درپوش محفظه چتر متصل است. کیسه مذکور همراه درپوش محفظه چتر خارج شده و چتر ترمزی رها می‌شود. جریان هوای چتر ترمزی کوچک را باز کرده و چتر اصلی که درون یک کیسه قرار دارد بیرون کشیده می‌شود. یک مکانیزم تاخیرانداز، خروج چتر اصلی را از کیسه‌اش به تأخیر می‌اندازد تا چتر ترمزی فرصت لازم برای کاهش سرعت تا حدود ۸۰ متربرثانیه را داشته باشد.

با توجه به وزن بازیافتی، چتر ترمزی سرعتی حدود ۱۵۰ الی ۱۷۰ و چتر اصلی سرعتی حدود ۸۰ الی ۱۰۰ متربرثانیه را تحمل می‌کرد. پس از چند تست، جهت کاهش پیچیدگی طرح (که احتمال خطأ را افزایش می‌دهد) مکانیزم تاخیرانداز حذف شد و به زمان لازم برای باز شدن چتر اصلی، که حدود ۰/۵ ثانیه اندازه‌گیری شده بود، اکتفا شد. چتر اصلی در زمان کوتاهی سرعت را تا حدود ۱۰ متربرثانیه کاهش داده و قسمت جلوی راکت را به نرمی بر زمین می‌نشاند.



شکل ۴۷- نمایی از مکانیزم چتر بازیابی نرم پس از خروج از کیسه و باز شدن

شکل ۴۷ نمایی از مکانیزم چتر ترمزی و چتر اصلی را، پس از خروج از کیسه‌ها و باز شدن کامل، نشان می‌دهد. انتخاب طرح چتر گرد به دلیل استحکام بیشتر آنست و با نصب سوراخ گریز هوا در مرکز آن، نوسانات کاهش داده شد. در فرآیند باز شدن چترها، کیسه چتر ترمزی رها می‌شود ولی کیسه چتر اصلی بر روی بند بریدل چتر ترمزی باقی می‌ماند که در شکل نشان داده نشده است.

اشکال ۴۸ و ۴۹ منحنی سرعت - زمان دو پرتابه بازیافتی را که توسط رadar داپلر ثبت شده است، نشان می‌دهند. در این اشکال نقطه A لحظه ورود پرتابه به منطقه تحت پوشش رadar است. نقطه B لحظه جدایش و باز شدن چتر ترمزی و نقطه C باز شدن چتر اصلی را نشان می‌دهد.

در شکل ۴۸ پرتابه در حال معلق زدن با سرعتی حدود ۳۲۰ متربرثانیه وارد دید رadar می‌شود. اثر معلق زدن پرتابه بر نوسانات سرعت، در ابتدای این منحنی به شکل زیگزاگ

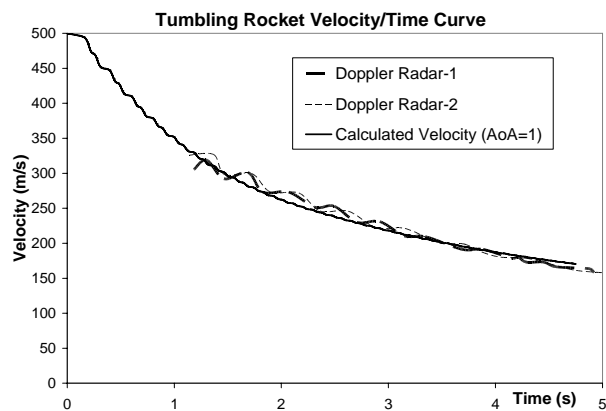
بایستی جهت دقت بیشتر محاسبات و نیز کاهش شتاب جانب مرکز، حتی الامکان مرکز جرم پرتابه به مرکز فشار آن نزدیک باشد و با کاهش شدت ناپایداری، از تشدید دوران کاست. جریانهای جانی مذکور یک گشتاور آیرودینامیکی ایجاد می‌کنند که در مقابل دوران گلوله مقاومت می‌کنند و بنابراین میزان دوران تجربی کمتر از مقدار تئوریک خواهد بود.

برای پرهیز از این خطاهای باید حلقه‌ای از سعی و خط، بین شبیه‌ساز پرواز و کد محاسب ضرایب ایرودینامیک، تشکیل شود. ابتدا بر اساس تحلیل پایا، ضرایب ایرودینامیک محاسبه می‌شوند، سپس شبیه‌ساز پرواز تاریخچه زمانی تغییرات زاویه حمله و ... را تولید می‌کنند. به کمک تاریخچه زمانی متغیرها، تحلیل ناپایای جریان در کد محاسب انجام و ضرایب ایرودینامیک تصحیح شده تولید می‌شوند. ضرایب ایرودینامیک تصحیح شده مجدداً در شبیه‌ساز پرواز استفاده شده و تاریخچه زمانی تغییرات، اصلاح می‌شود. به کمک تاریخچه زمانی اصلاح شده، تحلیل ناپایای جریان مجدداً اصلاح می‌شود. این سیکل اصلاحی تا دستیابی به دقت مورد نظر تکرار می‌شود. برای پرهیز از این تکرار زمانی، روش دیگر آنست که شبیه‌ساز پرواز و کد محاسب ضرایب ایرودینامیک هر دو در قالب یک نرمافزار جامع باشند. چنین نرمافزار جامعی نیاز به کامپیوتری قدرتمند دارد و زمان اجرای آن نیز طولانی خواهد بود. در اکثر موارد حلقه اصلاحی مذکور به دلایل هزینه‌ای انجام نمی‌شود و نرمافزارهای جامع نیز شامل آثار لزجت و اغتشاش نیستند.

نتیجه‌گیری

شتاب بازیابی نرم در علوه را، [۱۸] Flyash و Guevara در بیشترین مقدار خود، حدود ۹۰۰۰g اندازه‌گیری کردند. به طور کلی تمام روشهای بازیافت که در فضای کوچک آزمایشگاهی قابل اجرا باشند، شتاب منفی نسبتاً بزرگی خواهند داشت. منحنی‌های ثبت شده توسط رادار نشان می‌دهد که شتاب بازیافت (شیب منحنی سرعت) در هنگام باز شدن چتر ترمزی ناگهان به شدت افزایش می‌یابد. در واقع چتر ترمزی، که بعد کوچکی دارد، در سرعت ۱۵۰m/s شتابی از مرتبه شتاب ناپایدارسازی در سرعتهای مافوق صوت ایجاد می‌کند. چتر اصلی نیز در سرعت ۸۰m/s شتابی از همین مرتبه ایجاد کرده است. البته این شتاب همواره کمتر از ۱۰۰g بوده است. بنابراین همانطور که در نتایج و منحنیها مشخص است، شتاب منفی

سرعت-زمان بیانگر شتاب است. بنابراین در سرعتی مشخص باید شیب منحنیها را مقایسه کرد. اما نوسان سرعت اجازه اندازه‌گیری لحظه‌ای شیب منحنی راداری را نمی‌دهد. مشاهده می‌شود که بطور کلی شیب منحنی راداری در سرعتهای بالا انطباق بهتری با تئوری دارد.



شکل ۵۰- مقایسه منحنی سرعت - زمان ثبت شده توسط رادار داپلر با نتایج شبیه‌سازی

یکی از علل خطا آنست که در حل عددی جریان پایدار در نظر گرفته شده است. اگر نرخ تغییرات زاویه حمله (سرعت دوران) افزایش یابد، خطای حاصل از این فرض نیز افزایش می‌یابد. برای برآورد مقدار این خطای جریان به کمک برآورد دینامیک پرواز مجدداً حل وابسته به زمان شده و در سرعت دورانی ۶۱RPM که زاویه حمله به ۱۴/۵ درجه رسیده است، خطای مطابق جدول ۱ برآورد گردیده است.

جدول ۱- مقایسه نتایج حل میدان با دو فرض جریان وابسته به زمان و جریان پایدار

خطای نسبی (%)	خطای مطلق	حل پایدار	حل ناپایا	
۰/۲۲۶	۱/۳۸	۶۱۲/۸۵	۶۱۱/۴۷	Fx (N)
۴/۱۹۸	۴۰/۹۵	۱۰۱۶/۴۲	۹۷۵/۴۷	Fy (N)
۲/۷	۵/۸	-۲۲۰/۷	-۲۱۴/۹	Mz(N.m)

یکی دیگر از علل خطا آنست که سرعت دورانی پرتابه باعث ایجاد جریانهای جانی می‌شود که در حل منظور نشده‌اند. در ماقبه‌ای بالاتر نسبت سرعت جریانهای جانی به جریان اصلی کوچک است و این جریانها قابل اغماض است ولی در ماقبه‌ای کمتر خطای محاسبات را افزایش می‌دهند. بنابراین

پرتابه انعطاف‌پذیر است و می‌توان پرتابه با هر سرعتی را به این روش بازیافت نرم کرد.

مزایای فنی فراوان به همراه سادگی اجرا و هزینه بسیار کم ناپایدارسازی عمده، این روش را به عنوان رقیبی جدی در برابر روش‌های دیگر بازیابی نرم مطرح می‌کند. در عین حال این روش معایبی نیز به همراه دارد زیرا در فضای محدود قابل اجرا نیست. همچنین همانند بسیاری از روش‌های بازیافت چند مرحله‌ای، ناپایدارسازی مرحله اصلی بازیافت محسوب شده و بازیافت نهایی با استفاده از چتری دو مرحله‌ای انجام می‌شود.

منابع و مراجع

- [۱] H. Ewing, H. Bixby, T. Knacke, “*Recovery systems design guide*”, AFFDL-TR-۷۸-۱۵۱, Irvin industries Inc., ۱۹۷۸.
- [۲] T. Knacke, “*Parachute recovery systems design manual*”, Recovery Systems Division Aerosystems Department, Para Publishing, ۱۹۹۱.
- [۳] G. A. Benedetti, “*Flight Dynamics of a Spinning Projectile Descending on a Parachute*”, Sandia National Labs Livermore, CA ۹۴۵۵۱, ۱۹۹۳.
- [۴] W. B. Pepper, R. D. Fellerhoff, “*Parachute System to Recover Spinning Shell Subjected to ۲۰,... g's*”, Journal of Spacecraft and Rockets, Vol. ۶, No. ۳, pp. ۳۴۴-۳۴۶, ۱۹۶۸.
- [۵] Y. Ilyong, L. Seungsoo, C. Chongdu, “*Design study of a small scale soft recovery system*”, Journal of mechanical science and technology, Vol. ۲۰, No. ۱۱, pp. ۱۹۶۱-۱۹۷۱, ۲۰۰۶.
- [۶] J. W. Evans, C. R. Ruth, E. V. Clarke, “*Soft Recovery Tests of a ۱۵۵-mm Cannon Launched Guided Projectile Warhead Type T*”, Army Ballistic Research Lab Aberdeen Proving Ground, Memorandum Report ARBRL-MR-۰۳۱۰۷, ۱۹۸۱.
- [۷] E. V. Clarke, C. R. Ruth, J. W. Evans, J. E. Bowen, J. R. Hewitt and J. L. Stabile, “*Large Caliber Projectile Soft Recovery*”, Army Ballistic Research Lab Aberdeen Proving Ground, Memorandum Report ARBRL-MR-۰۳۰۸۳, ۱۹۸۱.
- [۸] W. E. James, “*Measurement of Interior Ballistic Performance Using FM/FM Radio Telemetry Techniques*”, US Army Ballistic Research Laboratory, Technical Report BRL-TR-۲۶۹۹, ۱۹۸۵.

بازیافت در هنگام معلق زدن پرتابه بسیار کمتر از روش‌های دیگر بازیافت نرم است. این نکته مهمترین مزیت بازیافت نرم به کمک ناپایدارسازی است.

نیروی جانب مرکز از مرتبه مؤلفه‌های نیروی درگ است و مشکلی در بازیابی نرم ایجاد نمی‌کند. همچنین از آنجا که دینامیک پرواز حاصل انتگرال نیروهاست، تعداد دوران نقشی تعیین کننده در روند منحنی سرعت ندارد.

افزایش سرعت دورانی خطای حاصل از فرض جریان پایدار را افزایش می‌دهد ولی مقایسه نتایج عددی و منحنی را در این نشان می‌دهد این خطای قابل اغماض بوده و نتایج محاسبات کاملاً قابل بهره‌برداری میدانی هستند. مشاهده شد که فرآیند تحلیل ناپایابی جریان بسیار زمانبرتر از تحلیل پایا است زیرا تحلیل ناپایابی بر اساس نتایج دینامیک پرواز انجام می‌شود و باستی برای اصلاح دینامیک پرواز نیز بکار رود. این سیکل اصلاحی تا دستیابی به دقت مورد نظر تکرار می‌شود. نتایج این پژوهش نشان داد که برای تحلیل بازیابی نرم راکت، نیازی به انجام این سیکل اصلاحی نیست و تخمینهای بکار رفته کاملاً کفايت می‌کند و خطای تخمین سرعت در لحظه باز شدن چتر مشکلی ایجاد نکرد.

تنوع رژیمهای جریان در اطراف پرتابه ناپایدار در سرعتهای مادون صوت باعث رفتار غیر معمول مؤلفه محوری نیروهای ایروودینامیکی می‌شود. همچنین در ناحیه گذر صوتی شوکهای موضعی متنوعی مشاهده شد. در سرعتهای مافوق صوت، باستی شوک را تسخیر کرد. در مجموع تنوع پدیده‌ها اجازه استفاده از شبکه درشت را نمی‌دهد. بنابراین جهت تحلیل ایروودینامیکی پرتابه ناپایدار نیاز به کامپیوتراهای باز هم سریعتر می‌باشد.

هرچند در این روش قطعاتی به پرتابه افزوده و یا کاسته می‌شود ولی با ثابت نگه داشتن جرم و موقعیت مرکز جرم، پرتابه بازیافته دینامیک پروازی مشابه راکت اصلی دارد. این خصوصیت سبب می‌شود که مثلاً اطلاعات ثبت شده از تاریخچه پرواز راکت، بتواند مستقیماً در تصحیح جداول تیر مورد بهره‌برداری قرار گیرد.

در هر نقطه از مسیر پرواز می‌توان راکت را با جدا کردن بالکها ناپایدار ساخت و با تغییر شرایط اولیه، محاسبات دینامیک پرواز را تکرار و زمان فتیله تأخیری را برای بازیافته موفق تنظیم کرد. بنابراین روش ناپایدارسازی نسبت به سرعت

- [۱۸] M. Guevara, B. Flyash, "Soft Recovery Recording System for Interior and Exterior Ballistics Characterization", ۲۳rd International Symposium of Ballistics, Spain, ۲۰۰۷.
- [۱۹] T. R. Smith, E. M. McCoy, M. Krasinski, S. Limaye, L. S. Shook, F. Uhelsky, W. Graham, "Ballute and Parachute Decelerators for FASM/Quicklook UAV", American Institute of Aeronautics and Astronautics, AIAA۲۰۰۳-۲۱۴۲, ۲۰۰۳.
- [۲۰] V. L. Behr, J. K. Cole, R. H. Croll, "The Development of a Ram Air Decelerator for the Recovery of Artillery Shells", Sandia National Labs Albuquerque NM, Report Number A۳۸-۸۷۲, ۱۹۹۳.
- [۲۱] P. D. Desai, P. C. Knocke, "Mars Exploration Rovers Entry, Descent, and Landing Trajectory Analysis", AIAA/AAS Astrodynamics Specialist Conference and Exhibit, Island, ۲۰۰۴.
- [۲۲] P. D. Desai, P. C. Knocke, "Mars Exploration Rovers Entry, Descent, and Landing Trajectory Analysis", American Institute of Aeronautics and Astronautics, AIAA۲۰۰۴-۵-۹۲, ۲۰۰۴
- [۲۳] M.R. Heidari, M. Farahani, M.R. Soltani and M. Taeibi-Rahni, "Investigations of Supersonic Flow Around a Long Axisymmetric Body", Scientia Iranica, Transaction B: Mechanical Engineering, Vol. ۱۶, No. ۶, pp. ۵۳۴-۵۴۴, Sharif University of Technology, December ۲۰۰۹.
- [۲۴] F. G. Moore, T. Hymer, "An Improved Method for Predicting Axial Force at High Angle of Attack", Naval Surface Warfare Center, Report Number NSWCDD/TR-۹۶/۲۴۰, ۱۹۹۷.
- [۲۵] N. Kumar, M. T. Nair and S. K. Saxena, "Computation of Supersonic Viscous Flow around a Slender Body at High Angles-of-Attack", Proceedings of the Tenth Asian Congress of Fluid Mechanics, ۲۰۰۴.
- [۲۶] M. Pasandideh Fard and M. Malek Jafarian, "Full Navier-Stokes Computations of Supersonic Flows over a Body at High Angles of Attack and Investigation of Crossflow", Scientia Iranica, Vol. ۱۱, No. ۴, pp ۳۳۹-۳۵۰, ۲۰۰۴.
- [۱] T. Myers, D. Geissler, B. Ellis, J.A. Cordes and J.Vega, "Statistical Comparison Between Component Level and System Level Testing for the Excalibur Projectile", ۲۳rd International Symposium of Ballistics, Spain, ۲۰۰۷.
- [۲] J. Cordes, J. Vega, D. Carlucci, R. Chaplin and W. Peterson, "Structural Loading Statistics of Live Gun Firings for the Army's Excalibur Projectile", ARDEC Technical Research Center, Technical Report ARAET-TR-۰۰۰۵, ۲۰۰۵.
- [۳] T. C. Derbridge, T. J. Dahm, "Recovery Tube Trade-Off Study for Reentry Ground Test Facility", Acurex Corp Mountain View Calif Aerotherm Div, Final Report A۱۷۵۹۲۰, ۱۹۷۸.
- [۴] J. M. Garner, B. J. Guidos, R. A. Phillabaum, P. C. Muller, "A Soft Recovery System Coupled With Advanced Diagnostics", U.S. Army Armaments Research, Development, and Engineering Center, ARL-TR-۳۹۵۷, ۲۰۰۶.
- [۵] A. Birk, D. E. Kooker, "A Novel Soft Recovery System for the 155-mm Projectile and Its Numerical Simulation", Aberdeen Proving Ground MD, ARL-TR۲۴۶۲, ۲۰۰۱.
- [۶] A. Birk, D. Carlucci, C. McClain, N. Gray, "Soft Recovery System for 155Mm Projectiles", ۲۳rd International Symposium of Ballistics, Spain, ۲۰۰۷.
- [۷] K. D. Laughlin, "Characterization Of the Parameters That Affect Projectile Balloting Using Finite Element Analysis", University Of Oklahoma, A Dissertation for the Degree of P.H.D, ۲۰۰۸.
- [۸] L. P. Anderson, Jr., "A Preliminary Study of the Feasibility of Using a Pressurized Tube for the Soft Recovery of a Five Inch Projectile", Naval Weapons Laboratory Dahlgren, Virginia, TR-۳-۱۹, ۱۹۷۳.
- [۹] J. Holzle, "Soft Recovery of Large Caliber Flying Processors", ۱۹th International Symposium of Ballistics, Switzerland, ۲۰۰۱.